

(II - 5) 鉛直壁に沿う Bubble Plume の基本特性について

宇都宮大学工学部 正員 池田裕一
宇都宮大学工学部 正員 須賀堯三

1. はじめに

ダム湖の富栄養化対策として Bubble Plume を考える場合、従来の運用例や研究を見ると、水域の中央で Bubble Plume を発生させているものがほとんどである¹⁾。しかし、何らかの構造物(例えばダムの堤体)の近辺あるいは構造物そのものに発生器を取り付けてやれば、設置・管理がしやすいシステムが構築できるのではないだろうか。そこで本研究では、構造物近傍において発生する Bubble Plume の基本特性を把握するために、鉛直壁に沿って上昇する 2 次元 Bubble Plume の実験を行い、その流速分布や連行係数・摩擦係数などを調べることにした。

2. 実験装置および方法

実験は、流れの 2 次元性を持たせるために、幅 1.5m・奥行 50cm の水槽の前面 10cm を仕切って行った(図 1)。気泡発生器は水槽の角に設置し、そこから放出された気泡が側面に沿って上昇するようにした。単位幅空気量 Q_0 は、目盛りをいれた容器で Bubble Plume を覆い、一定時間にその容器に溜まる空気の体積から求めた。流速測定には電磁流速計を用い、気泡発生器より 5cm 毎の高さの流速分布を求めた。実験条件は表 1 に示す通りである。

3. 実験結果および考察

図 2 は、鉛直壁からの水平距離 y による上昇流速成分 w の変化を示したものである。上昇流速は当然ながら鉛直壁面でゼロで、そこから水平方向に離れるに従い急激に増加して最大値をとり、そこからは緩やかに低減して自由流の様相を呈する結果となった。この図では各水平断面での測定結果をそれぞれ、その断面内での最大流速 w_m と、自由流側で $w = w_m/2$ となる水平距離 b を用いて無次元化してある。どの水平断面でのデータも、ある一つの曲線の周りにばらついており、流速分布の自己相似性がうかがわれる。図中の破線は、液体の 2 次元壁面噴流の無次元流速分布²⁾を示したもので、これと比べると、今回の 2 次元壁面 Bubble Plume は自由流側の分布が尖っており、液体の場合よりも流れが壁面近傍に集中しているのがわかる。流れの様子を見ると、気泡は壁面近傍に集中して(いわゆる気泡コア) 上昇しており、その浮力によって壁面近傍の水塊が大きな上昇流速を得るために、

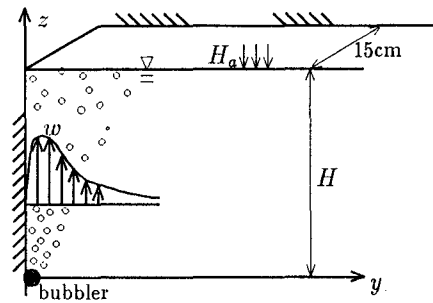


図 1 実験装置と記号の定義

表 1 実験条件

Run	$Q_0(\text{cm}^3/\text{s}/\text{cm})$	H(cm)
WH-1	2.60	65
WH-2	0.68	65
WH-3	1.56	65

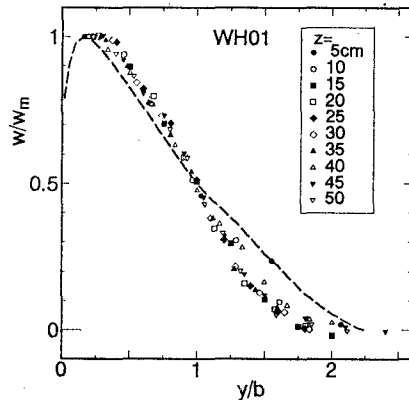


図 2 流速分布の相似性

こうした分布形をとるものといえる。

続いて図3,4に、単位幅あたりの流量 Q 、運動量フラックス F の鉛直方向変化を示す。これは流速の測定結果を

$$Q = \int_0^\infty w dy, \quad F = \int_0^\infty w^2 dy \dots \dots \dots (1)$$

という定義にしたがって積分したものである。図3を見ると、 Q は z の 0.9~1.1 乗に比例しているのがわかる。これは Q の支配要因を考えれば、 $w \sim (Q_0 g)^{1/3}$ 、 $b \sim z$ であることからおおよそ説明できる。一方図4では、 F は z のおよそ 1.4 乗に比例しており、これは Q と同じ要因だけでは説明がつかず、ここに壁面摩擦の影響が現れているのだといえる。

次に連行・摩擦特性を検討してみる。先に流速分布の相似性を確認しているので、 $W \equiv F/Q$ を各断面での代表流速とすることができる。この代表流速を用いて連行量および摩擦応力を表すことになると、体積および運動量保存則はそれぞれ

$$\frac{dQ}{dz} = \alpha W \dots \dots \dots (2)$$

$$\frac{dF}{dz} = \sigma_a \frac{Q_0 g}{W + \sigma_a u_s} \frac{H_a}{H_a + H - z} - C_f W^2 \dots (3)$$

となる。ここに α :連行係数、 σ_a :浮力補正係数、 C_f :摩擦係数、 u_s :気泡のスリップ速度である。そして、図3,4に示した Q, F と z の関係が、式(2)と(3)ができるだけ満たすように、 α, σ_a, C_f を求めたところ、図5.6.7 のようになった。横軸の $S_H \equiv Q_0 g / u_s^3$ は、気泡による浮力の大きさを示す無次元パラメーターである。 α はおおよそ 0.1 で、これは液体 Plume³⁾ と同程度の値である。 σ_a は今回の実験範囲で 2 倍強の変化を見せており、摩擦係数については、Run1 と 3 では液体噴流の場合²⁾ と同オーダーであるが、Run2 에서는 S_H の影響としても他とは大きく値が離れている。いずれにしても、 α, σ_a, C_f については、今後もさまざまな条件下で実験・観測を行い、その傾向をさらに検討していく必要があろう。

謝辞：本研究を行うにあたり、河川環境管理財団の河川整備基金研究助成（研究代表者 池田裕一）の援助を受けた。ここに記して謝意を表します。

参考文献

- 1) 例えば、松梨・宮永：電力中央研究所報告、U88078, 1989.
- 2) Rajaratnam,N.:Turbulent Jets, Elsevier, 1976.
- 3) Rouse et.al : Tellus, vol.4, pp.201-210, 1952.

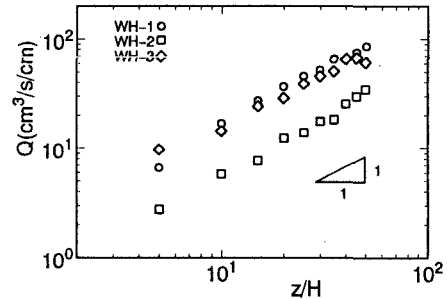


図3 上昇流量 Q の鉛直方向変化

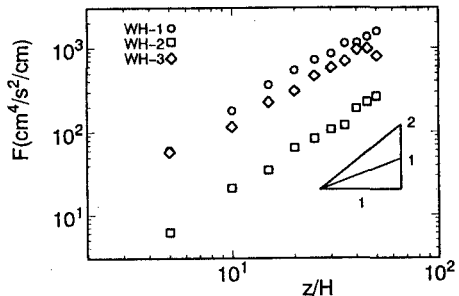


図4 運動量フラックス F の鉛直方向変化

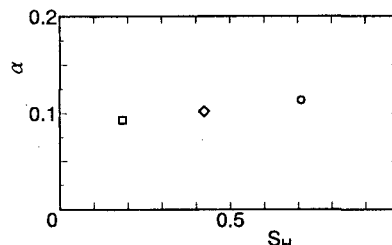


図5 連行係数

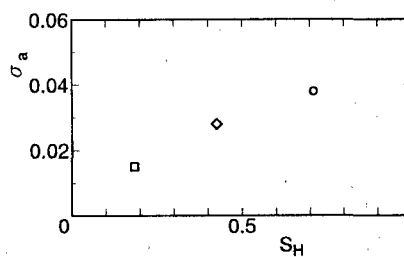


図6 浮力補正係数

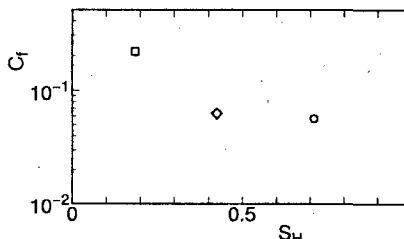


図7 摩擦係数